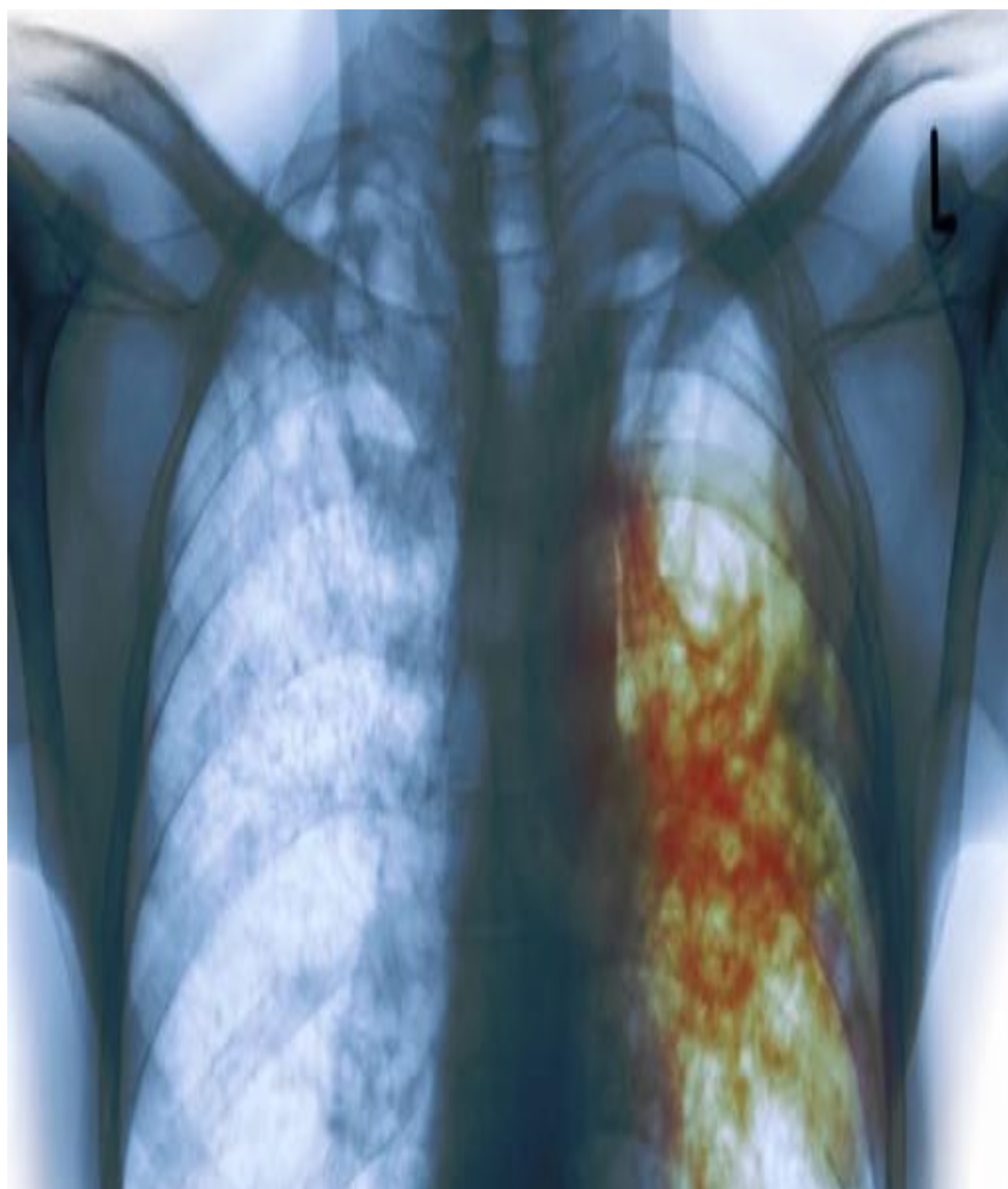


## **Fórmula de Navarro y Marco: Modelo predictivo clínico- radiológico para el diagnóstico precoz de la tuberculosis pulmonar**



Navarro Ballester A, Marco Doménech SF, Fernández García P, Ibáñez Gual MV, Moreno Muñoz MR, Gomila Sard B.

## 1. Introducción: diagnóstico de la tuberculosis.

### a) Clínica:

La clínica de la tuberculosis es inespecífica y muy variable.

### b) Baciloscopia de BAAR:

La técnica convencional de Ziehl-Neelsen deja muchos casos sin diagnosticar.

### c) Cultivo bacteriológico:

Tiempo de espera de 4-6 semanas.



**d) Interferon Gamma Release Assays (IGRA) y prueba de la tuberculina:**

- Tienen su máxima utilidad en el diagnóstico de formas latentes de tuberculosis.
- Su sensibilidad y especificidad pueden ser bajas, siendo variables en función del grupo poblacional.

**e) Reacción en cadena de la polimerasa (PCR):**

- Permite confirmar la presencia de este microorganismo en muestras biológicas a los 1-3 días.
- Elevado coste y la poca disponibilidad en áreas sanitarias menos desarrolladas.
- Especificidad y valor predictivo negativo más bajo de lo deseable en muestras de individuos VIH positivos.

### f) Radiografía simple y TC de tórax:

- Es raro que radiografía de tórax sea normal en los pacientes inmunocompetentes con tuberculosis pulmonar.
- Por desgracia, esta alta sensibilidad se acompaña de una baja especificidad.
- Pese a todo, existen algunos patrones radiológicos que son sugeritivos.
- La TC es una técnica más sensible y específica que la radiografía simple.



## Hipótesis de trabajo

- La hipótesis de trabajo que plantea este estudio es desarrollar un modelo predictivo sobre la presencia de tuberculosis pulmonar activa utilizando datos epidemiológicos, clínicos, de radiografía simple y TC torácica.

## Objetivos primarios:

1. Estudiar las variables de TC de tórax que pueden estar asociadas a la presencia de un cultivo positivo para *Mycobacterium tuberculosis*.
2. A través de una regresión logística multivariante, determinar las variables que, en conjunto, pueden predecir un cultivo positivo para tuberculosis, elaborando un sistema de puntuación predictiva que permita establecer el diagnóstico con relativa seguridad.

## Objetivos secundarios:

1. Estudiar las variables epidemiológicas que pueden presentar una mayor prevalencia en los pacientes con tuberculosis pulmonar.
2. Establecer los signos o síntomas cuya presencia ha sido más habitual en los pacientes con tuberculosis pulmonar activa.
3. Determinar qué hallazgos en radiografía simple de tórax pueden asociarse con más fiabilidad a la presencia de cultivo positivo para tuberculosis.
4. Estudiar qué hallazgos radiológicos son sugestivos de la presencia de infección por micobacterias atípicas, en detrimento de la infección por M. tuberculosis.

## 2. Material y métodos.

- Estudio observacional, retrospectivo, descriptivo y analítico de variables clínicas y epidemiológicas, así como los hallazgos radiológicos vistos en radiografía simple y TC de tórax realizadas por sospecha clínica de tuberculosis pulmonar.
- En el periodo de tiempo de 10 años, entre el 1 de enero de 2005 y el 31 de diciembre de 2014, se recogieron todos pacientes de la base de datos del Hospital General Universitario de Castellón a los que se hubiera realizado un cultivo por sospecha de tuberculosis pulmonar y a los que también se les hubiera realizado una TC en el mismo episodio asistencial.
- Se estudiaron 62 variables: (variables epidemiológicas: 18, clínicas: 10, Radiografía simple de tórax: 9, TC Torácica: 25).

Dividimos a los pacientes según su edad y resultado del cultivo:

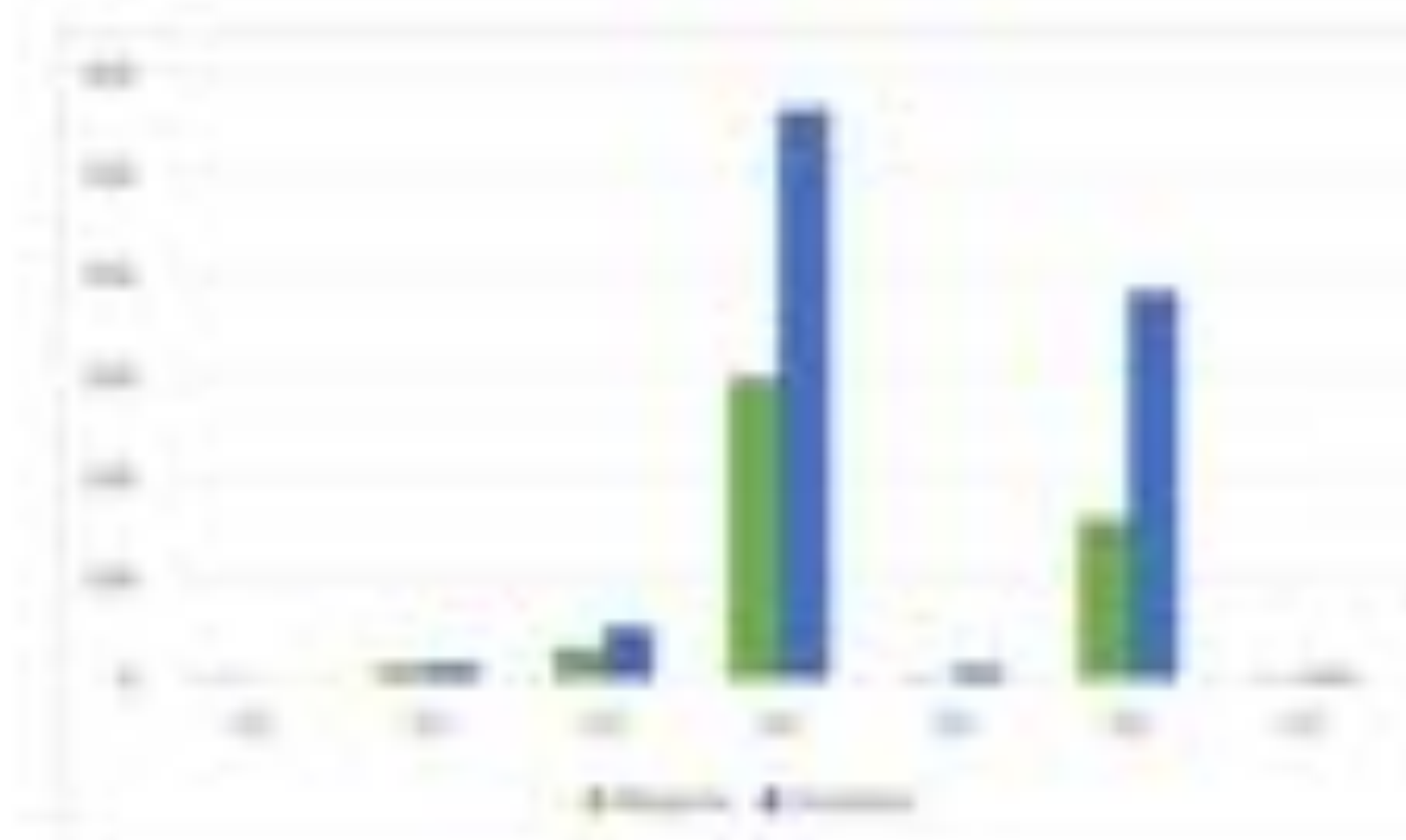
- **G1:** menores de 18 años con tuberculosis.
- **G2:** menores de 18 años con cultivo negativo.
- **G3:** pacientes de 18-65 años con tuberculosis.
- **G4:** pacientes de 18-65 años con cultivo negativo.
- **G5:** mayores de 65 años con tuberculosis.
- **G6:** mayores de 65 años con cultivo negativo.
- **G7:** Se añadió un séptimo grupo, formado por los pacientes que presentan un cultivo positivo para micobacterias atípicas, independientemente de su edad.

## Análisis estadístico:

- Las variables que podían ser potenciales predictores de cultivo positivo para TBC se identificaron con un análisis univariante ( $p<0.05$ ).
- Con las variables significativas se realizó una regresión logística multivariante y a cada variable se le asignó una puntuación.
- Se determinó el área bajo la curva ROC, usando el Índice de Youden ( Sensibilidad + Especificidad - 1 ) para indicar el mejor punto de corte.

## 3. Resultados.

- Tras la aplicación de los factores de inclusión y exclusión, se obtuvo una muestra de **1.549 pacientes**.
- La edad media fue de 54,44 años (DE 19,90 años), con una mediana de 56 años.
- Un 66,8 % fueron hombres y el 33,12 % , mujeres.



### 3a. Variables epidemiológicas ( 18 variables):

- Sexo.
- Edad.
- Grupo al que pertenece el paciente.
- País de procedencia.
- Institucionalización en centros penitenciarios.
- Anemia.
- Antecedente de tuberculosis pulmonar previa.
- Antecedente de cirugía.
- Antecedente de trasplante de órgano sólido (especificando el tipo).
- Diabetes mellitus.
- Alcoholismo.
- Terapia con fármacos esteroides.
- Enfermedades hematológicas.
- Enfermedad renal crónica (ERC).
- Colageneopatías.
- Enfermedad pulmonar obstructiva crónica (EPOC).
- Virus de inmunodeficiencia humana (VIH).
- Tabaquismo.

- #### \* Antecedentes de tuberculosis pulmonar previa:

Category	Sub-Category	Item	Description
Electronics	Smartphones	iPhone 12 Pro	High-end smartphone with 5G support.
Electronics	Smartphones	Samsung Galaxy S21	Competitor to iPhone 12 Pro.
Electronics	Laptops	Dell XPS 15	High-performance laptop with 15-inch screen.
Electronics	Laptops	HP Spectre x360	Thin and light laptop with 360-degree hinge.
Home & Garden	Kitchenware	Le Creuset Cast Iron Skillet	High-quality cast iron skillet for cooking.
Home & Garden	Kitchenware	Wusthof Classic Kitchen Knife Set	Professional-grade kitchen knife set.
Home & Garden	Decor	String Light Set	Decorative string lights for outdoor or indoor use.
Home & Garden	Decor	Floral Arrangement	Arrangement of fresh flowers in a vase.
Books & Media	Books	The Great Gatsby	Famous novel by F. Scott Fitzgerald.
Books & Media	Books	To Kill a Mockingbird	Famous novel by Harper Lee.
Books & Media	Movies	Star Wars: The Force Awakens	Famous movie in the Star Wars franchise.
Books & Media	Movies	Avatar	Famous movie directed by James Cameron.

- ### **• Diabetes mellitus:**

Classifications	50	51	52
51+52+53	16 (15.7%)	31 (30.1%)	31 (30.1%)
51+52	4 (3.9%)	8 (7.8%)	8 (7.8%)
51	0 (0%)	0 (0%)	0 (0%)

# SERAM 34

Sociedad Española de Radiología Médica

Congreso Nacional

PAMPLONA 24 MAYO

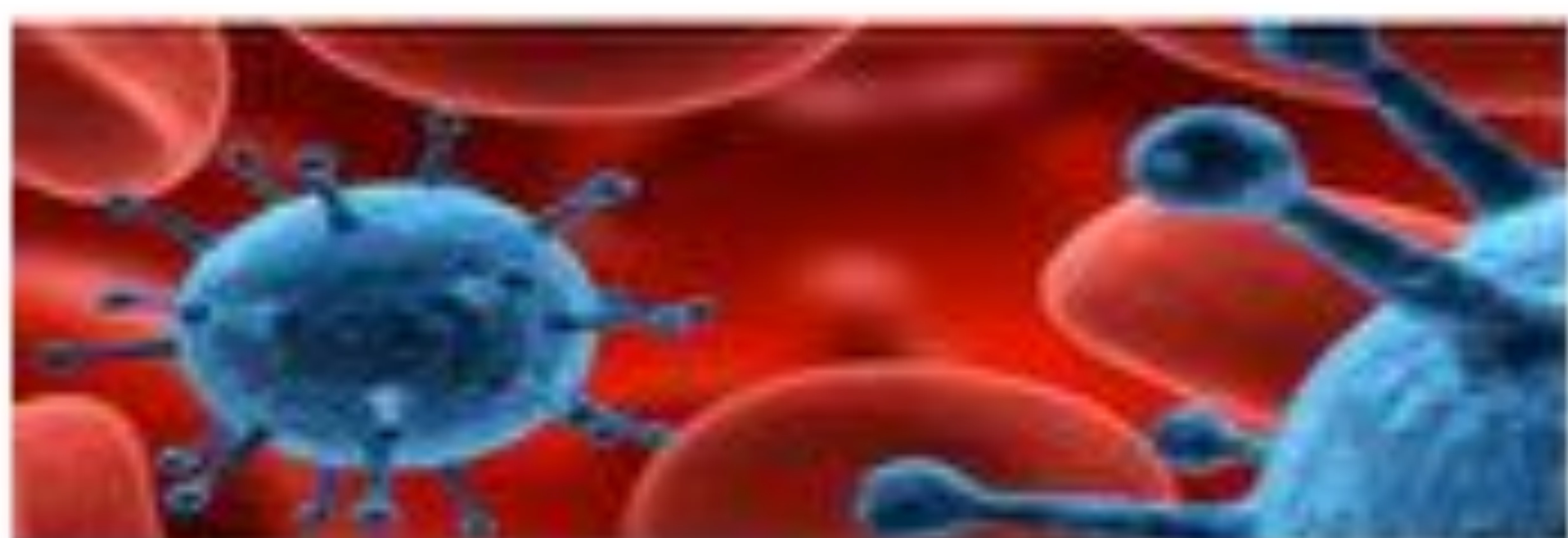
27 2018

Palacio de Congresos Baluarte

23 mayo Cursos Precongreso

## • VIH:

		TBC	
		40 (31+03+03)	16 (12+04+01)
VIH	Si	7 (5.3%)	24 (17%)
	No	36 (29.7%)	111 (72.2%)
Total		43 (35%)	135 (91%)
Diferencia		8.5%	8.5%
Diferencia %		0.0001	0.0001



# SERAM 34

Sociedad Española de Radiología Médica

Congreso Nacional

PAMPLONA 24 MAYO

27 2018

Palacio de Congresos Baluarte

23 mayo Cursos Precongreso

- Tabaquismo:

		TBC	
		2101403400	16100404400
Fumador	Si	515 (24)	219 (11.5%)
	No	20 227%	172 98.5%
	Total	21 239 (24)	191 239 (100%)

- Alcoholismo:

		TBC	
		2101403400	16100404400
Alcoholismo	Si	16 015 (24)	82 (4.3%)
	No	51 224 (76)	1747 98.5%
	Total	51 239 (24)	1829 100%
A.R. de tener TBC dentro de los criterios de 4000		1.0. 90% (1 5180 - 4 0100)	
Odds ratio: 2.7726		O.C. 95% (1 5089-4 0100)	0.7481 2018

### 3b. Variables clínicas ( 10 variables):

- Fiebre/ febrícula.
- Tos con/ sin expectoración.
- Pérdida de peso.
- Dolor torácico.
- Sudoración nocturna.
- Disnea.
- Hemoptisis.
- Mal estado general.
- Síndrome constitucional.



**NO SIGNIFICATIVAS**

### 3c. Variables en radiografía simple de tórax ( 9 variables ):

- Nódulo pulmonar.
- Masa pulmonar.
- Consolidación pulmonar.
- Atelectasia.
- Patrón intersticial.
- Bronquiectasias.
- Masas mediastínicas.
- Agrandamiento de los hilos pulmonares.
- Derrame pleural.

- Nódulos pulmonares:

		TBC	
		Si (G1+G3+G5)	No (G2+G4+G6)
Nódulo.RX	Si	15 (14.9%)	86 (6%)
	No	86 (85.1%)	94 (94%)
		p-valor= 0.00105	
RR de tener TBC debido Nódulo.RX=2.48 I.C. 95%: [1.49 - 4.14]			
Odds ratio: 2.76 (I.C. 95%) (1.47 - 4.87) p-valor=0.0022			



# SERAM 34

Sociedad Española de Radiología Médica

Congreso Nacional

PAMPLONA 24 MAYO

27 2018

Palacio de Congresos Baluarte

23 mayo Cursos Precongreso

- Masa pulmonar:

		TAC	
Masa	no	17/18 %	18/19 %
no	no	14/15 %	15/16 %
17/18 %	18/19 %	14/15 %	15/16 %
Datos	17/18 %	18/19 %	14/15 %
Datos	17/18 %	18/19 %	14/15 %



		TAC	
Masa	no	17/18 %	18/19 %
no	no	14/15 %	15/16 %
17/18 %	18/19 %	14/15 %	15/16 %
Datos	17/18 %	18/19 %	14/15 %
Datos	17/18 %	18/19 %	14/15 %

# SERAM 34

Sociedad Española de Radiología Médica

Congreso Nacional

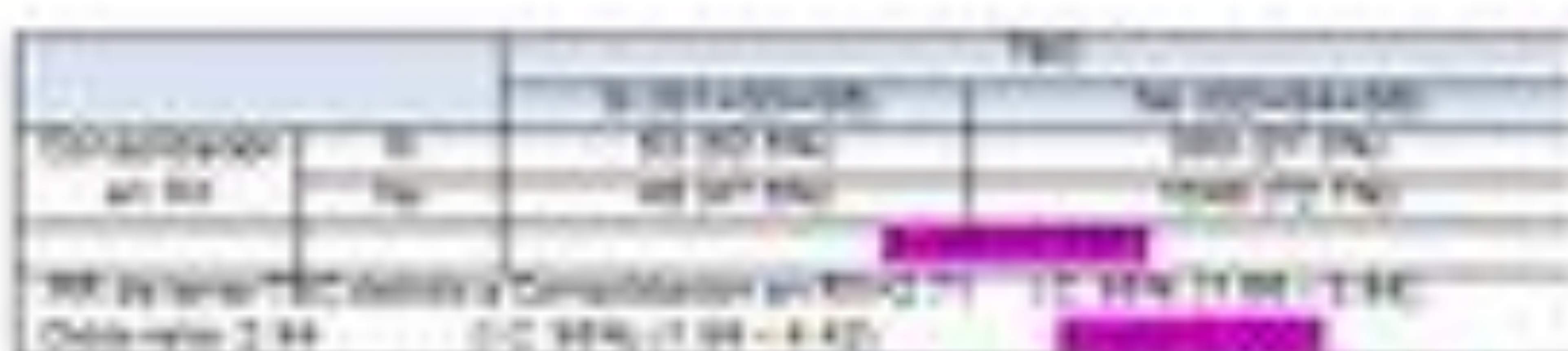
PAMPLONA 24 MAYO

27 2018

Palacio de Congresos Baluarte

23 mayo Cursos Precongreso

- Consolidación pulmonar.



A table comparing CT findings (left) with radiographic findings (right) for pulmonary consolidation. The table has three columns: 'CT' (imaging modality), 'Radiografía' (radiographic finding), and 'No radiografía' (no radiographic finding). The rows represent different clinical contexts: 'CONSOLIDACIÓN EN TAC' (consolidation on CT), 'CONSOLIDACIÓN EN TAC Y SIN EN LA RAYA' (consolidation on CT and none on X-ray), and 'CONSOLIDACIÓN EN LA RAYA' (consolidation on X-ray). The table shows varying percentages of radiographic findings across these categories.

CT	Radiografía	No radiografía
CONSOLIDACIÓN EN TAC	77% 30/39	22% 9/39
CONSOLIDACIÓN EN TAC Y SIN EN LA RAYA	100% 30/30	0% 0/30
CONSOLIDACIÓN EN LA RAYA	100% 30/30	0% 0/30



# SERAM 34

Sociedad Española de Radiología Médica

Congreso Nacional

PAMPLONA 24 MAYO

27 2018

Palacio de Congresos Baluarte

23 mayo Cursos Precongreso

- **Masa mediastínica:**

		TBC	
Masa mediastínica	21	357,3%	357,3%
%	%	357,3%	357,3%
			0,0%
997,24 - 997,24 - 997,24 a Masa mediastínica - 3004100 - 301% (13041 - 31781)			
0,0000 - 3,4955	0,0 - 3,4955 - 1,4011	0,0 - 3,4955	



### 3d. Variables en TC de tórax ( 25 variables ):

- Micronódulo pulmonar.
- Nódulo pulmonar.
- Masa pulmonar.
- Consolidación pulmonar.
- Tractos fibroticos cicatriciales.
- Atelectasia.
- Engrosamiento septal.
- Pérdida de volumen.
- Enfisema.
- Patrón de árbol en bronce.
- Patrón en vidrio destilado.
- Bronquiectasias.
- Adenopatías.
- Derrame pleural.
- Empiema.
- Engrosamiento pleural.
- Derrame pericárdico.

### 3d. Variables en TC de tórax:

- Micromódulo pulmonar:

	100% 100%	70% 70%	50% 50%
Datos	100	70	50
Resumen	100	70	50
Datos..._111	100.000-0.00-2.00	70.000-0.00-2.00	50.000-0.00-2.00



- Nódulo pulmonar:

	100% 100%	70% 70%	50% 50%
Datos	100	70	50
Resumen	100	70	50
Datos..._111	100.000-0.00-2.00	70.000-0.00-2.00	50.000-0.00-2.00



# SERAM 34

Sociedad Española de Radiología Médica

Congreso Nacional

PAMPLONA 24 MAYO

27 2018

Palacio de Congresos Baluarte

23 mayo Cursos Precongreso

- **Masa pulmonar:**

		Tumor		Consolidación	
Tumor		Consolidación		Tumor + consolidación	
Tumor	Consolidación	Tumor	Consolidación	Tumor	Consolidación
100%	2	21.000.270	21.000.270	21.922.370	21.922.370
Casi/Total	76	4.000.000	4.000.000	4.000.000	4.000.000
Média: 4.000.000 (21.922.370 / 5.454)					
Datos min: 1.899		(C. 60%)	(C. 60%)	(C. 60%)	(C. 60%)
Máx: 21.000.270 (21.922.370 / 1.000)					



- **Consolidación pulmonar:**

		Consolidación		Tumor	
Consolidación		Tumor		Consolidación + tumor	
Consolidación	Tumor	Consolidación	Tumor	Consolidación	Tumor
100%	2	21.000.270	21.000.270	21.922.370	21.922.370
Casi/Total	76	4.000.000	4.000.000	4.000.000	4.000.000
Média: 4.000.000 (21.922.370 / 5.454)					
Datos min: 1.899		(C. 60%)	(C. 60%)	(C. 60%)	(C. 60%)
Máx: 21.000.270 (21.922.370 / 1.000)					



# SERAM 34

Sociedad Española de Radiología Médica

Congreso Nacional

PAMPLONA 24 MAYO

27 2018

Palacio de Congresos Baluarte

23 mayo Cursos Precongreso

- Patrón de árbol en brote:

		TBC	
Volumen total	10	22 (11-30)	22 (1-10)
%	7%	11 (5-24)	11 (1-10)
Diametro (mm)	4.0 - 10.0 (0-10)	4.0 - 10.0 (0-10)	4.0 - 10.0 (0-10)



- Patrón en vidrio desilustrado:

		TBC	
Volumen total	10	11 (10-16)	11 (1-10)
%	7%	10 (8-17)	10 (1-10)
Diametro (mm)	1.5 - 10.0 (0-10)	1.5 - 10.0 (0-10)	1.5 - 10.0 (0-10)



#### ■ Adenogastres

卷数	卷名	卷数	卷名
卷之三	卷之三	卷之四	卷之四
卷之五	卷之五	卷之六	卷之六
卷之七	卷之七	卷之八	卷之八
卷之九	卷之九	卷之十	卷之十



## Se. Análisis multivariante: Modelos globales

Para construir un modelo global, inicialmente reunimos todos los tipos de variables, eligiendo sólo aquellas que fueron significativas. Para establecer una puntuación para cada una de las variables que nos da una puntuación global a partir de estos resultados, redondeamos los coeficientes estimados ( $\beta$ ) al entero más próximo.

# SERAM 34

Sociedad Española de Radiología Médica

Congreso Nacional

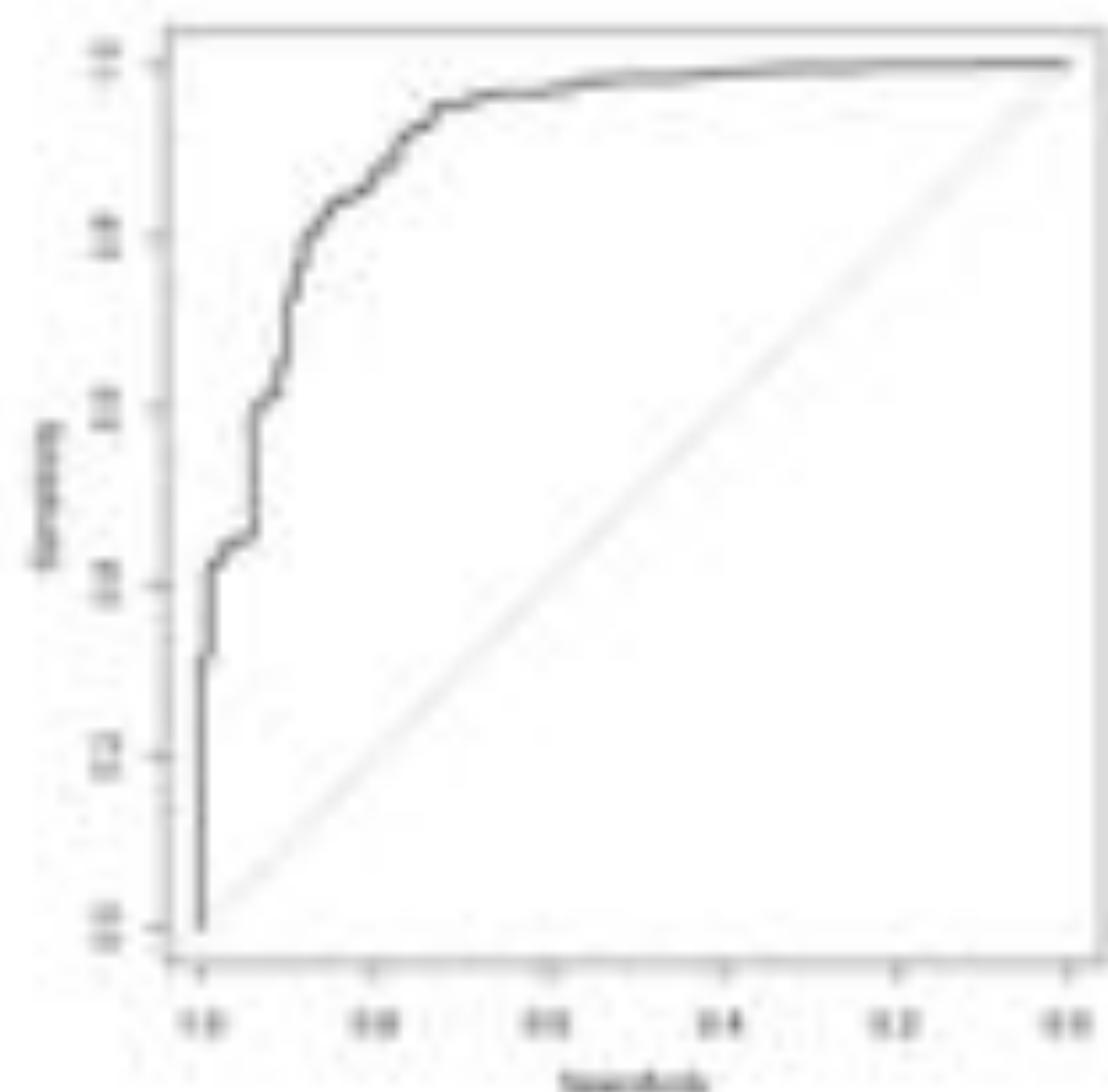
PAMPLONA 24 MAYO

27 2018

Palacio de Congresos Baluarte

23 mayo Cursos Precongreso

La variable edad, al tener un valor numérico, tiene un tratamiento distinto: cada año de más contribuye en la puntuación con -0.026579, por lo que a la puntuación de cada persona, además del resto de variables, hay que contar con -0.03 x Edad (en años).



El área bajo la curva es 0.9163 (95% CI: 0.8858 – 0.9467) y el mejor punto de corte, según el método de Youden, es 1.845 (sensibilidad de 0.851 y especificidad de 0.836).

El resultado de nuestro modelo aplicado a nuestros pacientes se puede apreciar en la siguiente tabla:

		TUBERCULOSOS	
RESULTADO TEST		SI (27. 63. 66)	NO (32. 64. 66)
POSITIVO	SI	86	237
	(verdadero positivo)		(falso positivo)
NEGATIVO	SI	15	1290
	(falso negativo)		(verdadero negativo)

Así, tal como se ve en la tabla, este modelo predictivo con un punto de corte en 1.845 tiene una sensibilidad del 85.1 %, especificidad del 83.6 %, VPP de 26.6 % y VPN de 98.7 % para diferenciar entre pacientes con cultivo positivo para *M. tuberculosis* de aquellos que no lo tienen.

# Scream 34

Sociedad Española de Radiología Médica

# Congreso Nacional

**BAILEY CHA 24 MAYO**

PAMPLONA 27 2018

**Palacio de Congresos Baluarte**

## **23 Mayo Cursos Preparatorio**

#### **4.3. Many-to-Many Frequency Grid**

## 4. Aplicando el modelo.



### Paciente #271:

- 43 años.
- Dos semanas de los comienzos de expectoración.
- Sudoración nocturna.

Signos y síntomas	Puntuación
Fumar (x2)	+2
A = 2	

Signos y síntomas	Puntuación
Bronquitis (x1)	+1
Tosse fértil (x1)	+1
C = 0	

Signos en radiografía simple de tórax	Puntuación
Omniductos pulmonares (x1)	+1
B = 1	

$$A + B + C - \text{Edad} \times 0,03 = 2 + 1 + 0 - (43 \times 0,03) = 1,71$$



## Paciente #403:

- ♂ 67 años.
- EPOC con empeoramiento de su clínica, con tos con expectoración y disnea.

Variables epidemiológicas	Indicadores
Anemia (+)	+2
EPOC (+)	+1
	A = +1

Variables en radiografía simple de tórax	Puntuación
tosca pulmonar (+1)	+1
	B = 1

Variables en tomografía axial computarizada	Puntuación
tosca pulmonar (+1)	+1
tosca pulmonar cavitaria (+2)	+2
tosca pulmonar (+1)	+1
tosca pulmonar cavitaria (+1)	+1
Perforación broncoarterial (+2)	+2
Adenopatías mediastínicas (+1)	+1
	C = 6

$$A + B + C - \text{Edad} \times 0.03 = +1 + 1 + 6 - (67 \times 0.03) = 3,99$$

## 5. Conclusiones (I).

- 1.- Los micronódulos pulmonares se detectan en TC en algo más de la mitad de los pacientes con cultivo positivo para *Mycobacterium tuberculosis* ( $p<0.0001$ ), siendo habitualmente múltiples ( $p<0.0001$ ) y no presentando una localización específica, aunque sí una distribución "al azar" de forma preferente ( $p<0.0001$ ). El hallazgo de micronódulos calcificados va en contra del diagnóstico de tuberculosis ( $p=0.045$ ).
- 2.- Los nódulos y masas pulmonares se presentan significativamente con mayor frecuencia en pacientes con cultivo positivo para *Mycobacterium tuberculosis*, tanto en radiografía simple ( $p<0.0001$ ) como en TC ( $p<0.0001$ ). La diferencia también es significativa a favor de la tuberculosis si los nódulos están cavitados en TC ( $p<0.0001$ ) o las masas aparecen cavitadas tanto en radiografía simple ( $p=0.024$ ) como en TC ( $p<0.0001$ ).

## 5. Conclusiones (II).

- 3.- Las consolidaciones pulmonares cavitadas se detectan en TC en más del 20% de los pacientes con tuberculosis, siendo su localización preferente los lóbulos superiores. Se objetivó de forma significativa ( $p<0.0001$ ) una mayor proporción de pacientes con consolidaciones cavitadas en los grupos con cultivo positivo.
- 4.- La observación de un patrón en "árbol en brote" en TC es altamente predictiva del diagnóstico de tuberculosis ( $p<0.001$ ).
- 5.- La presencia de un patrón en vidrio deslustrado hace menos probable el diagnóstico de tuberculosis pulmonar ( $p=0.023$ ).

## 6. Conclusiones (III).

6.- Aunque la presencia de adenopatías se asocia al diagnóstico de tuberculosis ( $p<0.001$ ), no se ha demostrado una mayor afectación de ninguna de las cadenas mediastínicas en concreto.

7.- En pacientes con cultivo positivo para micobacterias atípicas hay una presencia significativamente mayor de diabetes ( $p=0.014$ ) y de EPOC ( $p=0.0001$ ) que en los pacientes con cultivo positivo para *Mycobacterium tuberculosis*. Tanto en radiografía simple como en TC se observaron bronquiectasias en el 44% de los pacientes con cultivo positivo para micobacterias atípicas, aunque no se detectaron diferencias significativas ni en radiografía simple ( $p=0.0551$ ) ni en TC ( $p=0.0677$ ) frente a los pacientes con tuberculosis pulmonar.

## 6. Conclusiones (IV).

- 8.- El análisis de la curva ROC de este sistema de puntuación para predecir el resultado del cultivo para *Mycobacterium tuberculosis* muestra un área bajo la curva de 0.9163 (IC del 95 %: 0.8858-0.9467) y un punto de corte óptimo de 1.845.
- 9.- Este modelo predictivo, tiene una sensibilidad del 85.1 %, especificidad del 83.6 %, VPP del 26.6 % y VPN del 98.7 % para diferenciar entre pacientes con tuberculosis pulmonar activa y aquellos que presentaron un cultivo negativo.
- 10.- Este sistema de puntuación basado en los hallazgos clínico-epidemiológicos y radiológicos puede ayudar en el diagnóstico precoz de la tuberculosis pulmonar activa, reduciendo así la carga asistencial y financiera de los hospitales, así como minimizando el aislamiento respiratorio inmediato innecesario y el riesgo infeccioso para los pacientes y los trabajadores sanitarios.

## Bibliografía:

1. Kumar V, Abbas AK, Fausto N, Mitchell RN (2007). Robbins Basic Pathology (8th ed.). Saunders Elsevier. pp. 516-22.
2. OMS. Informe mundial sobre la tuberculosis. Webs de la OMS. Con acceso el 12 de abril de 2015. Disponible en:  
[http://www.who.int/tb/publications/global\\_report/es/](http://www.who.int/tb/publications/global_report/es/)
3. OMS. Tuberculosis. Web de la OMS. Con acceso el 12 de abril de 2015. Disponible en: <http://www.who.int/mediacentre/factsheets/fs104/es/>
4. OMS. Hablemos de tuberculosis y VIH. Web de la OMS. Con acceso el 12 de abril de 2015. Disponible en:  
[http://www.who.int/tb/challenges/hiv/talking\\_points/es/](http://www.who.int/tb/challenges/hiv/talking_points/es/)
5. OMS. Objetivos de desarrollo del milenio. OMS. Con acceso el 12 de abril de 2015. Disponible en:  
[http://www.who.int/topics/millennium\\_development\\_goals/es/](http://www.who.int/topics/millennium_development_goals/es/)
6. McKnight, M., ed (1985). Identification of pathological conditions on human skeletal remains. Washington DC: Smithsonian Institution Press.
7. Zink A, Haas CJ, Reischl U, Szeimies U, Nerlich AG. Molecular analysis of skeletal tuberculosis in an ancient Egyptian population. *J Med Microbiol.* 2001; 50: 355-66.
8. MTB complex DNA in a Scandinavian Neolithic passage grave. Paper I, Molecular Palaeopathology. Ancient DNA analyses of the bacterial diseases tuberculosis and leprosy. En: Theses and Papers in Scientific Archaeology 6. Stockholm: Archaeological Research Laboratory, Stockholm University, 2004.
9. Formicola V, Milanesi Q, Scarsini C. Evidence of spinal tuberculosis at the beginning of the fourth millennium BC from Arene Candide cave (Liguria, Italy). *Am J Phys Anthropol.* 1987;72:1-6.
10. Canci A, Minozzi S, Borgognini Tarli SM. New evidence of tuberculous spondylitis from Neolithic Liguria (Italy). *Int J Osteoarchaeol.* 1996; 6:497-501.